

V-32 曲げおよびねじりをうける偏心プレストレスコンクリートはりの 力学的挙動について

京都大学 正員 ○ 岡田 清
日本国有鉄道 正員 白井 幸彦

1 まえがき

曲げおよびねじりをうける偏心PCはりでは、断面におけるプレストレス勾配のために、その力学的挙動、破壊様式は複雑である。またねじり補強筋の影響についても不明な点が多い。

本文は、無筋およびねじり補強筋をもつ矩形断面偏心PCはりと、ねじり補強筋を有するT形断面偏心PCはり、計38本を用い、曲げモーメント(M)とねじりモーメント(T)との比をM/T = 0, 1/2, 1, 2, 4, ∞ の6段階に変化させた静的載荷試験を行なった結果について報告する。

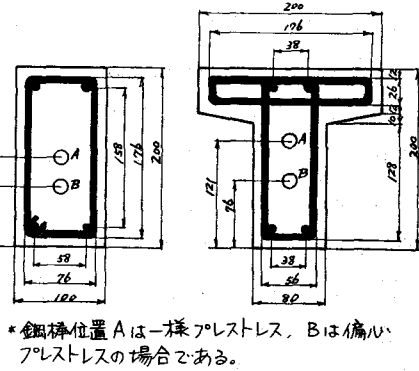
2 供試体および実験方法

供試体の断面寸法を図-1に示す。長さはいずれも160cmで、軸方向筋およびねじり補強の用意スター・ラップヒザでは、 $\phi 6\text{ mm}$ ($\sigma_{sy} = 3750\text{ kg/cm}^2$, 伸び 8.1%) を用い、ねじり補強はりにおけるスター・ラップの間隔は7cmである。コンクリートは、骨材最大寸法15mm、単位セメント量 $C = 450\text{ kg/cm}^3$, $w/c = 36\%$, スランプ 5cm, 空気量 4.5% の未充填のものである。供試体製作時の相異のため、試験時の品質はややばらついているが、圧縮強度 $51.4 \sim 599\text{ kg/cm}^2$, 曲げ強度 $41.1 \sim 46.3\text{ kg/cm}^2$, 引張強度 $35.7 \sim 39.8\text{ kg/cm}^2$, 静弹性係数 $3.34 \sim 3.91 \times 10^5\text{ kg/cm}^2$, ポアソン比 0.167 ~ 0.188 であった。

供試体へのプレストレスの導入は、高周波焼入PC鋼棒(公称 $\phi 16\text{ mm}$, 降伏真荷重22.4t, 伸び7.6%)を用い、枕木28日に行ない、鋼棒に貼付した電気抵抗線ひずみ計、およびはり上下縁におけるコンクリートひずみをフーケンヘルカーヒズミ計で測定して導入応力をチェックした。プレストレスは上縁で0となるよう偏心位置がきめである。プレストレス導入後たちちにセメントミルクでグラウトを行なった。フーケンヘルカーヒズミ計による測定結果から、試験時(枕木56日)までに生ずるプレストレスの減少を求め、有効プレストレスを確認したが、この値は上縁で $96.7 \sim 98.7\text{ kg/cm}^2$ で、下縁で0であった。載荷装置は、供試体の中央部70cmをはさんで2本の鋼製の腕木を取り付け、腕木の外端にそれぞれ荷重を載荷することにより、はり中央部(70cmの間)には一定の曲げモーメントおよびねじりモーメントを作用させた。測定は、部材のねじり回転角(ミラー・トランシットによる光学的測定とダイヤルゲージによる機械的測定とを併用)、抵抗線ひずみ計によりコンクリートひずみ(はりの4面、3軸方向)、PC鋼棒および鉄筋のひずみを測定した。同一条件に対し、各2本ずつの供試体を試験した。

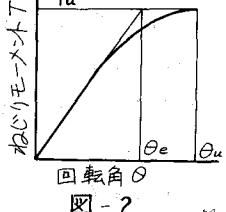
3 実験結果とその考察

3.1 はりの弾性常数(G) ねじりモーメントと回転角との実測値について、初期の弾性範囲におけるせん断弾性係数を理論値と対比検討すると、矩形断面ではSt.Venantの弾性理論式において実



* 鋼棒位置Aは一様プレストレス、Bは偏心
プレストレスの場合である。

図-1 はり断面の寸法



測定弹性係数Eと木アソン比レヒを用いた $G = \frac{E}{2(1+\nu)}$ ときわめてよく一致し、T形はりにおいては有限要素法による計算結果と腹部高さの中央部で比較したが、これとの一致も同様良好であった。この場合、これら弹性定数にはM/Tの変化による影響、および矩形とT形との断面形状の相違による影響は認められなかった。

3.2 はりのねじり回転能 図-2に示すように、はりが完全弾性体と仮定した場合の T_u に対する弹性回転角 θ_e と、はりの実際の最終回転角 θ_u との比 θ_e/θ_u ははりのねじり塑性回転能を示す一つのパラメータと考えられる。矩形断面およびT形断面について、それをSt.Venant、有限要素法による弹性解から実測 T_u に対する θ_e を計算し、実測 θ_u との比を示すと右表のようである。右表には参考までに無筋コンクリート、および60kg/cm²の一様プレストレスを与えた場合の実験値も併記してある。プレストレスを導入すると θ_u の絶対値は大きくはあるが、ねじり補強の腹鉄筋のがいときは、塑性回転能は無筋のはりか絶ねじりをうけるときとほとんど変わらない。これに反し、腹鉄筋を用いると θ_u の絶対値、 θ_u/θ_e の値はいずれも著しく増大する。なお、本実験では塑性回転能はM/Tの変化によって大きな影響をうけていない。

3.3 ひびわれ荷重

3.3.1 絶ねじりをうけるとき 偏心プレストレスが導入されているので、必ずしもせん断応力が最大となる奥でひびわれが発生するとは限らない。はりの4側面（上面面および側面のそれぞれ中央）に貼布した3軸ひずみゲージの測定値を用い、各荷重段階における主応力を求め、ひびわれ発生の状況を検討したが、ひずみ計の読みが急変する荷重（ここでは一応、粘弹性限界と称する）における、矩形断面では上縁、T形断面ではフランジ中央での主引張応力はほぼコンクリートの引張強度に等しかった。なお、腹鉄筋のがいときは肉眼によるひびわれの観察は困難で、ひびわれ発生と同時に破壊した。上縁のひびわれははり軸と約45°の角度で発生し、側面に移り、側面では下縁に近づくに従ってその傾斜角は小となっている（矩形のとき約20°程度）。

3.3.2 曲げおよびねじりをうけるとき 腹鉄筋のがい矩形はりでは、M/T=4および∞（絶曲げ）を除き、ひびわれ発見と同時に破壊した。腹鉄筋を有する矩形はりのひびわれ荷重も、発生場所も腹鉄筋のがい場合とほとんど同じであるが、いったん発生したらそれ以後ひびわれは、かなりらせん状に伝播し、ねじり区间内に一様に分布し、破壊をきわめて穢かであった。このとき T_u/T_{cr} の値はM/T=0~4.0に対し、矩形はりで1.1~1.4、T形はりで1.1~1.7で、M/Tの比とともにやや大きくなっている。

3.4 破壊強度 腹鉄筋をもつ場合について、破壊時における曲げモーメントとねじりモーメントとの相関曲線を図-3(a), (b)に示す。矩形はりでは、若干曲げが加わって上縁に圧縮応力が作用したM/T=1/2のときねじり抵抗は最大で、絶ねじり強度を上回り、M/T=1.0, 2.0でほぼ絶ね

表-1 θ_u/θ_e の値

| 矩形断面はり | | | T形断面はり | | |
|---|-----------------------------|-------------------------------------|--------------------------------------|---|--------------------------------------|
| 無筋 | アストレスなし | θ_u/θ_e | 無筋 | アストレスなし | θ_u/θ_e |
| 腹鉄筋なし, M=0 | 34.6 | 1.11 | 腹鉄筋なし, M=0 | 59.2 | 1.55 |
| 無筋 | 309 | 7.84 | — | — | — |
| 一様アストレス(60%) | 76.9 | 1.34 | 一様アストレス(60%) | 98.4 | 1.74 |
| 腹鉄筋なし, M=0 | | | 腹鉄筋なし, M=0 | | |
| 偏心 心 ア 鉄 筋 ス ト な レ ス | M/T=0 1/2 1 2 4 | 65.0 66.2 60.4 62.8 102 | 1.28 1.16 1.28 1.27 2.40 | 偏心アストレス 腹鉄筋なし M=0 | 77.5 1.47 |
| 偏心 心 ア 鉄 筋 ス ト な レ ス | M/T=0 1/2 1 2 4 | 242 424 408 332 291 | 3.67 6.37 6.03 5.22 5.62 | 偏心 心 ア 鉄 筋 ス ト な レ ス | 423 451 412 442 356 |
| | | | | | 5.95 6.23 5.51 5.88 5.30 |

じり強度に等しく、以後曲げの増大とともにねじり抵抗は減少する。本実験では $M/T = 4 \sim \infty$ の間の実験がよいのが明白なことはいえようが、 $\frac{M_u}{M_{ou}} = 0.8$ ぐらいまではあまり顕著なねじり強度の低下はないという報告もある。

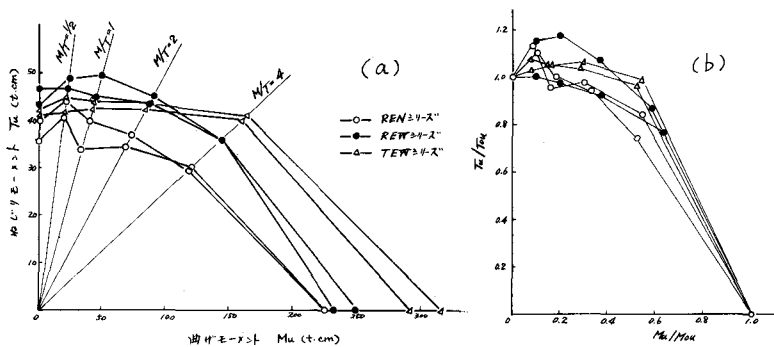


図-3 相関曲線（破壊時）

破壊時ににおけるコンクリー

トの最大圧縮ひずみ ϵ_{cu} 、腹鉄筋の最大ひずみ ϵ_{su} を検討すると、ひずみ測定位置が必ずしも critical 断面ではないのであるが、 ϵ_{cu} は矩形、T形はりとも $0.010 \sim 0.027$ で、かなり圧壊状態に近く、 ϵ_{su} は主ひびわれ位置に近い所では $870 \sim 2000 \times 10^{-6}$ となり（鉄筋の降伏ひずみは $\epsilon_{sy} \approx 1800 \times 10^{-6}$ である）、必ずしも鉄筋の降伏が生じたとは断言できなかった。

また、ねじり補強筋による強度増加率を矩形はりについて示すと、図-4 のように、 $M/T = 1 \sim 2$ との効果は最良であるが、本実験の場合この範囲内のひびわれ角度が緩慢（約 30° ）で、7cm ピッチに配置された腹鉄筋の抵抗力をもとよく發揮できたからであろう。

3.5 曲げ～ねじり強度の算定 ACI では最近鉄筋コンクリートに対する、 $M/M_u \sim T/T_u$ 相関関係を円と仮定して、新しい設計方法を提案したり。PC 部材に対する各々の実験値に対し、Reeves³⁾ や Bishara³⁾ は、一般的な 2 次式や 3 次式の提案を行なっているが、これらは供試体の寸法や断面形、導入プレストレスの大きさ、腹鉄筋量等により異なるものである。Goode³⁾ は鉄筋コンクリートについては、曲げモーメントの影響の大きさに応じ、四つの Mode の破壊の可能性を示している。

3.5.1 初期ひびわれ（粘弾性限界） 供試はりのひびわれ特性の観察から、ひびわれ荷重を次の仮定の下に求めたものを式(1)～(3)に示す。
(i) ねじりの作用が卓越しているときは、はり上縁において初期ひびわれが生じるのと、この奥での最大主引張応力の条件を満足する。なお、このときは Ziai による修正 Cowan 式⁴⁾ $\frac{T}{T_{oc}} = \sqrt{1 + \frac{M}{M_{oc}}} \dots (A)$ を用いる。
(ii) 曲げとねじりの作用が同程度のときは、はり側面、ほぼはり高中央でひびわれが生じるのと、この奥の見掛けのせん断抵抗（平均プレストレスの影響を加味する）を用いる。
(iii) 曲げの作用が卓越するときは、はり下面よりひびわれが発生し、この奥での最大主応力条件を満足する。

$$(i) \text{の場合 } \left(\frac{T}{T_{oc}}\right)^2 - f_1 \left(\frac{M}{M_{oc}}\right) = 1 \quad (1)$$

$$(ii) \text{の場合 } \left(\frac{T}{T_{oc}}\right) = f_2 \quad (2)$$

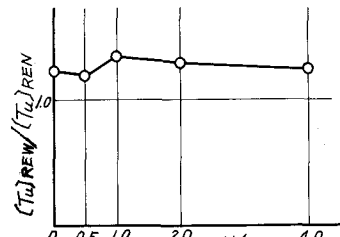


図-4 ねじり補強筋による強度増加率（矩形偏心 PC はり）

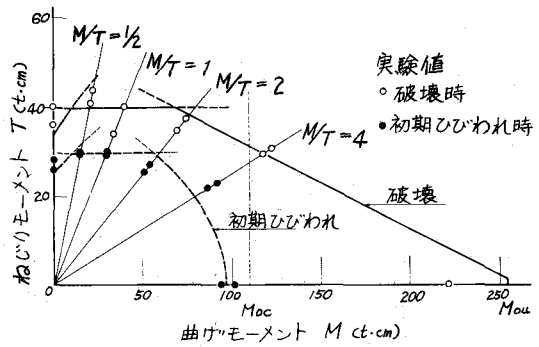


図-5 破壊包絡線

$$(iii) の場合 \quad t_{e3} \left(\frac{T_e}{T_{oc}} \right)^2 + \left(\frac{M_e}{M_{oc}} \right) = 1 \quad (3)$$

$$\text{ここに, } t_{e1} = \frac{\sqrt{\sigma_{ps} + \sigma_{tu}}}{\sigma_{tu}}, \quad t_{e2} = \frac{\alpha'}{\alpha} \frac{a}{b} \sqrt{1 + \frac{\sigma_{ps}}{2\sigma_{tu}}}, \quad t_{e3} = \frac{\sigma_{tu}}{\sigma_{tu} + \sigma_{ps}}$$

σ_{ps} : 下縁におけるプレストレス, σ_{tu} : 曲げ引張強度, σ_{tu} : 引張強度

α, α' : St. Venant 式で与えられる常数で, それぞれ上縁, 側面中央点の応力に関するもの
 a, b : 矩形断面の短辺, 長辺

実験値との比較を図-5 に示す。

3.5.2 破壊強度 初期ひびわれに対する前述の(i), (ii), (iii)の場合に対し, ねじり補強筋をもたないはりの破壊の場合には, (i) のときはねじり応力に対しては完全塑性式を仮定する, (ii) に対しては同様仮定, (iii) に対しては曲げモーメントによる下縁からのひびわれ発生のため断面の減少が生じることを考慮し, かつまだひびわれの入っていない断面 ($\alpha' b - \Delta b$) は完全塑性としてねじり抵抗を示すと仮定する。ただし断面の減少は曲げモーメントに比例すると考えられる。上記仮定による破壊包絡線と実験値との比較を図-5 に示す。

ねじり補強筋をもつはりでは, (i) ねじりが卓越するときは, ねじり強度はコンクリートはりのそれと, 補強筋のねじり抵抗との和で示されるとし, 後者に対しては Cowan 式 $\frac{2\alpha b' \sigma_{asv}}{s}$... (B)
 $(\alpha', b'$: コアの断面, σ_{asv} : 腹鉄筋断面積, s : 腹鉄筋のピッチ) を用いる方法が多く用いられる。本実験でも, Hsu⁵, 因田⁶らの方法を検討したが, (B)式における σ_s に対して σ_{sy} を用いる修正 Cowan 方法では, 計算値は過大となつた。(ii) 曲げが卓越するときは、破壊基準として Cowan の内部摩擦説を用い、かつ曲げひびわれによる断面の減少を考慮して算式を導いた矩形はりにおける実験と比較したが、かなりのよい一致をみた。

4. むすび

矩形およびT形断面はりに上縁でほぼ0, 下縁で約100 kg/cm² の偏心プレストレスを与えたのが曲げおよびねじりの複合作用下における弹性挙動, ひびわれ特性, 破壊荷重, ねじり補強筋の影響について考察した。ねじり補強筋の影響についても若干の解析を行なつたが、なお不明の点が多い。

本研究では一つの解釈を試みたが、今後さらに考究を進める予定である。

(参考文献)

- 1) ACI Committee 318, Jour. of ACI, Feb. 1970, pp. 77~107
- 2) ACI Publication SP-18, Torsion of Structural Concrete, 1968, p. 124, p. 365
- 3) A. Bishara; "Prestressed Concrete Beams Under Combined Torsion, Bending and Shear", Jour. ACI, July 1969, p. 525~538
- 4) P. Zia; "Torsional Strength of Prestressed Concrete Members", Jour. ACI, Apr. 1961, pp. 1337~1359
- 5) T.T.C. Hsu; "Ultimate torque of reinforced rectangular beams", Proc. ASCE, Feb. 1968, pp. 485~510
- 6) K. Okada et al; "Experimental studies on the strength of rectangular reinforced and prestressed concrete beams under combined flexure and torsion", Trans. JSCE, No. 131, July 1966